

25. Ю. Н. Денисов, Я. К. Трошин. ЖТФ, 1960, **30**, 4.
26. Ю. Н. Денисов, Я. К. Трошин. ПМТФ, 1960, 1.
27. А. А. Борисов, С. М. Когарко. Докл. АН СССР, 1963, **149**, 623.
28. Р. И. Солоухин. ПМТФ, 1960, 2.
29. Р. И. Солоухин. Ударные волны и детонация в газах. Физматгиз, 1963.
30. G. L. Shott. Phys. of Fluids, 1965, **8**, 850.
31. R. E. Duff. Phys. of Fluids, 1960, **4**, 11.
32. D. Edwards, D. Реггу, A. Jones. J. of fluid mechanics, 1966, **26**, 10.
33. Б. В. Войцеховский, Б. Е. Котов и др. Изв. СО АН СССР, 1958, 9.
34. Б. В. Митрофанов. ПМТФ, 1962, 4.
35. Б. В. Митрофанов, Р. И. Солоухин. Докл. АН СССР, 1964, **159**, 5.
36. Б. П. Волин, Я. К. Трошин и др. ПМТФ, 1960, 2.
37. Я. К. Трошин, К. И. Щелкин. Газодинамика горения. М., «Наука», 1963.
38. Т. П. Гавриленко, М. Е. Топчиян, В. А. Ясаков. ФГВ, 1967, **3**, 4.
39. D. Edwards, D. Реггу а. о. J. Appl. Phys., 1966, **17**, 11.
40. B. Levitt, D. H. Noggin. J. Chem. Phys., 1962, **36**, 1.
41. M. L. N. Sastri, L. M. Schwartz а. о. 9-th Symposium (International) on Combustion. N. Y. — Ld., 1963.
42. Ю. Н. Денисов, Я. К. Трошин. ПМТФ, 1967, 2.
43. А. Н. Дремин, О. К. Розанов. Докл. АН СССР, 1961, **139**, 1.
44. А. Н. Дремин, О. К. Розанов. Научно-технические проблемы горения и взрыва, 1965, 2.
45. N. Manson. Compt. rend, 1946, **222**, 46.
46. N. Manson. Propagation des detonation et des deflagration dans les melanges gazeux. L'Office. Nat. d'Etudes et des Recherches Alronautique, Paris, 1947.
47. Р. И. Солоухин, М. Е. Топчиян. Докл. АН СССР, 1959, **127**, 772.
48. Р. И. Солоухин, М. Е. Топчиян. Третье Всесоюзное совещание по теории горения. Т. I. М., 1960.
49. J. A. Fay. J. Chem. Phys., 1952, **20**, 6.
50. Чи и Воя-Тен. Proceeding of Symposium Aerothermochem, Evanston, 1956.
51. Р. И. Солоухин. Изв. АН СССР, ОТН, Механика и машиностроение, 1959, 6.
52. D. R. White. Phys. of Fluids, 1961, **4**, 4.
53. С. С. Рыбанин. ФГВ, 1966, **2**, 1.
54. В. С. Трофимов, А. Н. Дремин, О. К. Розанов. ФГВ, 1966, **2**, 3.
55. Я. Б. Зельдович. ЖЭТФ, 1942, **10**, 5.
56. Я. Б. Зельдович, А. С. Компанеец. Теория детонации. М., Гостехиздат, 1955.
57. A. Schmidt. J. Phys. Chem., 1941, A., B., 189.
58. J. A. Nicholls, E. K. Daborga, R. A. Gealeg. VII-th Symposium (International) on Combustion and Detonation, London, 1959.
59. R. A. Gross, W. Chinitz. J. Aero/space Sci., 1960, **27**, 7.
60. Р. И. Солоухин. ПМТФ, 1961, 5.
61. Б. В. Войцеховский. Докл. АН СССР, 1959, **129**, 6.
62. Б. В. Войцеховский. ПМТФ, 1960, 3.
63. Б. В. Войцеховский. Сб. Ученого совета по народнохозяйственному использованию взрыва. Вып. 13, Новосибирск, Изд-во СО АН СССР, 1960.
64. В. В. Михайлов, М. Е. Топчиян. ФГВ, 1965, **1**, 4.

УДК 534.222.22

К ТЕОРИИ ДЕТОНАЦИИ В ШЕРОХОВАТЫХ ТРУБАХ

C. C. Рыбанин
(Москва)

Большинство экспериментов по изучению детонации газов проводилось в трубах с гладкими стенками. Изучению же детонации в шероховатых трубах — явления очень интересного как с практической, так и с теоретической точки зрения — уделялось незаслуженно мало внимания.

Детонация в шероховатых трубах впервые исследовалась К. И. Щелкиным [1]. Затем это явление изучал П. Лаффит [2]. Как

показано Щелкиным, в шероховатой трубе скорость детонации теряет свойство физико-химической константы смеси, поскольку в шероховатой трубе она зависит от аппаратурных условий — от степени шероховатости. Чем больше шероховатость, тем сильнее падает скорость. В шероховатых трубах зарегистрированы скорости детонации, на 40—50% меньше скорости ее в гладкой трубе. С позиций классической модели детонации с потерями, предложенной Я. Б. Зельдовичем [3], такое большое падение скорости объяснить трудно¹.

К. И. Щелкин и Я. Б. Зельдович смогли объяснить это явление, предложив неклассический механизм детонации в шероховатых трубах.

По представлению Зельдовича, воспламенение газа при столь малых скоростях детонации² происходит не непосредственно за ударным фронтом, а в местах отражения его от шероховатостей, где, как показывают оценки, температура гораздо выше, чем за фронтом детонационной волны. Затем горение распространяется к середине трубы, заполняет все ее сечение (рис. 1) и заканчивается прежде, чем смесь успевает прореагировать от ударного сжатия.

По представлению К. И. Щелкина [4], воспламенение может происходить путем поджигания свежего газа продуктами горения, которое возможно благодаря интенсивной турбулентности, вызываемой шероховатостью, и высокой температурой за фронтом детонации. Иными

словами, предполагается, что скорость турбулентного горения сравнима со скоростью газа относительно фронта детонации, поэтому может существовать стационарный детонационный комплекс — ударная волна и зона горения.

Ясно, что в этом случае горение начинается у стенок трубы, где прежде всего развивается турбулентный пограничный слой и где скорость турбулентного горения наибольшая. Затем горение заполняет все сечение трубы (см. рис. 1).

Таким образом, представления Я. Б. Зельдовича и К. И. Щелкина о структуре детонационной волны в шероховатой трубе по сути дела одинаковы; отличие заключается лишь в разных механизмах воспламенения.

В основу теоретических рассмотрений детонации в шероховатой трубе, излагаемых ниже, положена модель Зельдовича — Щелкина.

Ради простоты, но не в ущерб физическому смыслу, сделаем следующие допущения.

Фронт детонации — плоский. Воспламенение газа у стенок трубы мгновенное. Горение газа происходит турбулентно, причем предполагается, что турбулентные моли газа сгорают с поверхности (модель

¹ Согласно Зельдовичу максимальное падение скорости детонации составляет $\frac{\Delta U_0}{U_0} \approx \frac{RT}{E}$, где R — газовая постоянная, T — температура за фронтом детонации; E — энергия активации. Обычно величина $\frac{RT}{E}$ находится в пределах 0,1—0,15.

² Как показывают оценки [8], такой механизм детонации может иметь место, например, при детонации смеси $2\text{H}_2 + \text{O}_2$ в трубе диаметром 2 см, когда снижение скорости детонации из-за потерь составляет 15% от величины ее в гладкой трубе.

Дамкеллера — Щелкина [5]). Течение в области, где горение заполнило все сечение трубы (сечение B и далее), считаем одномерным. Тепловыми потерями пренебрегаем по сравнению с потерями из-за трения.

При таких приближениях уравнения сохранения потоков массы, импульса и энергии в системе координат, связанной с фронтом детонации, имеют вид [3]

$$j = \rho_0 U_0 = \rho U, \quad (1)$$

$$p + \rho U^2 = p_0 + \rho_0 U_0^2 + \int_0^x \frac{\Pi c_x \rho w^2}{2 F} dx, \quad (2)$$

$$j \left(\frac{\gamma p v}{\gamma - 1} + \frac{U^2}{2} \right) = j \left(\frac{\gamma p_0 v_0}{\gamma - 1} + \frac{U_0^2}{2} + q \right) + U_0 \int_0^x \frac{\Pi c_x \rho w^2}{2 F} dx, \quad (3)$$

где U — скорость газа относительно фронта детонационной волны; w — скорость газа относительно стенок трубы; p — давление; v — удельный объем; ρ — плотность; j — плотность потока; q — тепловыделение; c_x — коэффициент сопротивления; Π — периметр трубы; F — площадь поперечного сечения трубы; γ — отношение теплоемкостей; x — расстояние от фронта детонационной волны. Индекс «0» относится к состоянию газа перед детонационной волной, поэтому U_0 — скорость детонации.

При турбулентном горении течение весьма неоднородно, поэтому предполагается, что все величины в уравнениях (1) — (3) осреднены по сечению трубы и времени.

Поскольку, по нашим предположениям, турбулентные моли газа сгорают с поверхности, то приближенно можно принять, что тепловыделение следующим образом зависит от времени:

$$q = Q \left[1 - \left(1 - \frac{u_n t}{l} \right)^3 \right], \quad (4)$$

где u_n — нормальная скорость пламени; l — масштаб турбулентности; t — время; Q — тепловой эффект химической реакции.

Введем обозначение

$$\xi = \int_0^x \frac{\Pi c_x \rho w^2 dx}{2 F j^2 v_0},$$

где ξ — безразмерные потери из-за трения.

Исключив p из уравнений (1) — (3), получим выражение

$$\frac{v}{v_0} = \frac{1 + M^2 (1 + \xi) (\gamma \pm \sqrt{D})}{(\gamma + 1) M^2}. \quad (5)$$

где

$$M^2 = \frac{U_0^2}{c_0^2} = \frac{U_0^2}{\gamma p_0 v_0};$$

$$D = \frac{1}{M^4(1+\xi)^2} \left\{ (M^2 - 1)^2 + 2M^2(\gamma + M^2)\xi + \gamma^2 M^4 \xi^2 - \right. \\ \left. - \frac{2(\gamma^2 - 1)qM^2}{c_0^2} \right\} \geq 0$$

(скорость детонации обычно велика, поэтому $M^2 \gg 1$). После пренебрежения малыми членами выражение для D примет вид

$$D \simeq \frac{\gamma^2 \xi^2 + 2\xi + 1 - \frac{2(\gamma^2 - 1)q}{U_0^2}}{(1+\xi)^2}. \quad (6)$$

Условие $D \geq 0$ налагает на допустимые уравнениями (1) — (3) скорости детонации следующее ограничение:

$$U_0^2 \geq \frac{2(\gamma^2 - 1)q}{\gamma^2 \xi_*^2 + 2\xi_* + 1}. \quad (7)$$

Отсюда видно, что минимальная скорость детонации $v_{0\min}$ должна быть равной максимальному значению правой части неравенства (7)

$$U_{0\min} = \sqrt{\frac{2(\gamma^2 - 1)q_*}{\gamma^2 \xi_*^2 + 2\xi_* + 1}}, \quad (8)$$

где величины, отмеченные звездочкой, относятся к точке максимума правой части неравенства (7), т. е.

$$\frac{d}{d\xi} \left[\frac{2(\gamma^2 - 1)q}{\gamma^2 \xi^2 + 2\xi + 1} \right]_{\xi=\xi_*} = 0. \quad (9)$$

Если детонация распространяется с минимальной скоростью (8), то в точке $\xi = \xi_*$, $D_* = 0$. Из уравнения (2) следует, что если $D_* = 0$, то $U_* = \sqrt{\gamma p_* v_*} = c_*$ — скорость течения равна скорости звука.

Если $D > 0$ (это имеет место, когда детонация распространяется со скоростью большей $U_{0\min}$), то всюду за фронтом детонации $U < c$, следовательно, согласно правилу Чепмена — Жуге, стационарная самоподдерживающаяся детонация может распространяться только со скоростью $U_{0\min}$ (8).

Для определения скорости детонации Чепмена — Жуге $U_{0\min}$ служат уравнения (8) и (9), кроме $U_{0\min}$ эти уравнения содержат еще две неизвестные величины q_* (или t_*) и ξ_* . Для определения t_* и ξ_* двух уравнений (8) и (9) недостаточно. Чтобы найти еще одну связь между $U_{0\min}$, t_* и ξ_* , нужно решить уравнения (1) — (3). Сделать это точно — задача очень сложная, целесообразней вычислить зависимость ξ_* ($U_{0\min}$, t_*) приближенно.

Представим ξ_* в виде

$$\xi_* = \frac{v_0 \Pi}{2F U_{0\min}^2} \left\{ \int_0^{x_B} c_x \rho w^2 dx + \int_{x_B}^{x_*} c_x \rho w^2 dx \right\}, \quad (10)$$

где x_B — расстояние от фронта детонации до плоскости B (см. рис. 1), в которой горение заполняет все сечение трубы. Напомним, что при $x > x_B$ течение считаем одномерным.

В первом интеграле сделаем замену переменных, пользуясь соотношением

$$dt = \frac{dx}{U} = -\frac{dr}{u_t},$$

где u_t — скорость распространения турбулентного горения на расстоянии r от оси трубы. Во втором интеграле сделаем замену

$$dx = U dt.$$

Если шероховатость трубы достаточно велика, то коэффициент сопротивления c_x зависит только от величины шероховатости. Мы ограничимся именно таким случаем и будем считать $c_x = \text{const}$.

Величины u_h и u_t зависят от температуры за ударным фронтом и интенсивности турбулентности. Эти величины определяются в основном только скоростью детонации, поэтому в первом приближении можно считать, что u_h и u_t не зависят от x .

При сделанных предположениях выражение (10) имеет следующий вид

$$\xi_* = \frac{\Pi c_x U_{0\min}}{2 F} \left\{ \frac{R}{u_t} \int_0^1 \left(\frac{w}{U_{0\min}} \right)^2 d \left(\frac{r}{R} \right) + \frac{\tau_* l}{u_h} \int_{t_B/t_*}^1 \left(\frac{w}{U_{0\min}} \right)^2 d \left(\frac{t}{t_*} \right) \right\}, \quad (11)$$

где $\tau_* = \frac{t_* u_h}{l}$; R — радиус трубы.

Первое слагаемое в правой части выражения (11) представляет собой безразмерные потери из-за трения на участке AB (см. рис. 1), где горение распространяется от стенки трубы к середине, второе слагаемое — потери на участке BC , где происходит турбулентное горение в одномерном потоке.

Длина участка AB , а вместе с ним и потери, определяется временем распространения горения от стенки трубы к середине, т. е. величиной R/u_t .

Длина участка BC определяется временем горения турбулентного моля газа l/u_h .

Рассмотрим два крайних случая:

1) потери на участке BC намного больше потерь на AB , при этом $l/u_h \gg R/u_t$;

2) потери на участке AB намного больше потерь на BC , при этом $R/u_t \gg l/u_h$.

1) $l/u_h \gg R/u_t$ — время горения турбулентного моля газа намного больше времени распространения горения от стенки трубы к ее середине. Поскольку в этом случае потери на участке BC превосходят потери на участке AB , то первым интегралом в правой части выражения (11) можно пренебречь, в результате чего получим

$$\xi_* \approx \frac{\Pi c_x l U_{0\min} \tau_*}{2 F u_h} \int_0^1 \left(\frac{w}{U_{0\min}} \right)^2 d \left(\frac{t}{t_*} \right) = \frac{3(\gamma+1)^2 \zeta_1}{2 \theta^{1/2}} \int_0^1 \left(\frac{w}{U_{0\min}} \right)^2 d \left(\frac{t}{t_*} \right), \quad (12)$$

где

$$\zeta_1 = \frac{\Pi c_x l \sqrt{2(\gamma^2 - 1)Q}}{3(\gamma+1)^2 F u_h}; \quad \theta = \frac{2(\gamma^2 - 1)Q}{U_{0\min}^2}.$$

Заметим, что $\frac{t_B}{t_*} \approx \frac{R/u_t}{R/u_t + l/u_h} \ll 1$, поэтому мы не совершаляем

большой ошибки, когда нижний предел интегрирования в (12) считаем нулем.

Вычислим теперь приближенный интеграл в (12).

При $t/t_* = 0$ можно считать (поскольку потери на участке AB малы), что $\frac{w}{U_{0\min}} \approx \frac{2}{\gamma + 1}$. При $\frac{t}{t_*} = 1$, $D_* = 0$, поэтому $\frac{w}{U_{0\min}} = \frac{1 - \gamma \xi_*}{\gamma + 1}$, что следует из соотношений (1) — (6).

Зная значение функции $\frac{w}{U_{0\min}}$ на краях интервала интегрирования, интеграл в (12) можно оценить, считая $\frac{w}{U_{0\min}}$ линейной функцией t/t_* , в результате чего получим

$$\xi_* = \frac{\zeta_1 \tau_* (\gamma^2 \xi_*^2 - 4 \gamma \xi_* + 7)}{2 \theta^{1/2}}. \quad (13)$$

Таким образом, для определения $U_{0\min}$, τ_* и ξ_* имеем три уравнения (8), (9) и (13), которые после простых преобразований сводятся к следующим уравнениям

$$\theta = \frac{\gamma^2 \xi_*^2 + 2 \xi_* + 1}{1 - (1 - \tau_*)^3}, \quad (14)$$

$$\frac{\tau_* (1 - \tau_*)^2}{1 - (1 - \tau_*)^3} = \frac{2 \xi_* (\gamma^2 \xi_* + 1) (1 - \gamma \xi_*)^2}{(\gamma^2 \xi_*^2 - 4 \gamma \xi_* + 7) (\gamma^2 \xi_*^2 + 2 \xi_* + 1)}, \quad (15)$$

$$\tau_*^2 [1 - (1 - \tau_*)^3] = \frac{4 \xi_*^2 (\gamma^2 \xi_*^2 + 2 \xi_* + 1)}{\zeta_1^2 (\gamma^2 \xi_*^2 - 4 \gamma \xi_* + 1)^2}. \quad (16)$$

График зависимости τ_* (ξ_*) по уравнению (15) приведен на рис. 2 (кривая a). Как видно из рисунка, кривая τ_* (ξ_*) имеет минимум. Минимальное значение $\tau_{* \min}$ при $\gamma = 1,4$ равно 0,8. Величина $\tau_* \leq 1$, поэтому $\xi_* \leq \frac{1}{\gamma}$, как следует из уравнения (15) и видно из рис. 2.

График зависимости τ_* (ξ_*) по уравнению (16) при $\zeta_1 = \text{const}$ также приведен на рис. 2. По мере увеличения ζ_1 кривая τ_* (ξ_*) смещается вправо и вниз.

Как видно из рисунка, существует предельное максимальное значение $\zeta_{1,i}$, для которого есть еще решение уравнений (15) и (16). При $\zeta_1 > \zeta_{1,i}$ кривые (a) и τ_* (ξ_*) по уравнению (16) пересекаются за пределами интервала $0 \leq \xi_* \leq \frac{1}{\gamma}$, где $\tau_* > 1$. Эти решения не имеют физического смысла. Для предельного значения $\zeta_{1,i}$ величина $\tau_* = 1$ и $\xi_* = \frac{1}{\gamma}$

Rис. 2. График зависимости безразмерного времени горения $\tau_* = \frac{t_* u_n}{l}$ от величины потерь ξ_* .

— горение завершено, а газ полностью заторможен относительно стенок трубы ($w_* = 0$, что следует из (1) — (6) при $\xi_* = \frac{1}{\gamma}$). Величина

пределной скорости детонации $U_{0\min_l}$ и коэффициент ζ_{1_l} равны:

$$\frac{U_{0\min_l}}{\sqrt{2(\gamma^2 - 1)Q}} = \sqrt{\frac{\gamma}{2(\gamma + 1)}}, \quad (17)$$

$$\zeta_{1_l} = \sqrt{\frac{\gamma + 1}{2\gamma^3}} \quad (18)$$

при $\gamma = 1,2$

$$\frac{U_{0\min_l}}{\sqrt{2(\gamma^2 - 1)Q}} = 0,52.$$

Таким образом, детонация в шероховатой трубе при $\frac{l}{u_h} \gg \frac{R}{u_\tau}$ возможна лишь, если

$$\zeta_1 = \frac{\pi c_x l \sqrt{2(\gamma^2 - 1)Q}}{3(\gamma + 1)^2 F u_h} \leq \sqrt{\frac{\gamma + 1}{2\gamma^3}}, \quad (18a)$$

скорость детонации $U_{0\min}$ при этом не может быть меньше величины $\sqrt{\gamma(\gamma - 1)Q}$.

2) $\frac{l}{u_h} \ll \frac{R}{u_\tau}$ — время горения турбулентного моля газа намного меньше времени распространения горения от стенок трубы к ее середине. В этом случае потери на участке AB превосходят потери на участке BC , поэтому вторым интегралом в правой части выражения (11) можно пренебречь, в результате чего получим:

$$\xi_* \approx \frac{\pi c_x U_{0\min} R}{2 F u_\tau} \int_0^1 \left(\frac{w}{U_{0\min}} \right)^2 d\left(\frac{r}{R}\right) = \frac{3(\gamma + 1)^2 \zeta_2}{2 \theta^{1/2}} \int_0^1 \left(\frac{w}{U_{0\min}} \right)^2 d\left(\frac{r}{R}\right), \quad (19)$$

где

$$\zeta_2 = \frac{\pi c_x R \sqrt{2(\gamma^2 - 1)Q}}{3(\gamma + 1)^2 F u_\tau}.$$

Вычислим теперь приближенно интеграл в (19). При $\frac{r}{R} = 1$
 $\frac{w}{U_{0\min}} = \frac{2}{\gamma + 1}$, при $\frac{r}{R} = 0$ $\frac{w}{U_{0\min}} \approx \frac{1 - \xi_*}{\gamma + 1}$, потому что в сечении B при условии $l/u_h \ll R/u_\tau$ газ практически весь сгорает.

Зная значение функции $\frac{w}{U_{0\min}}$ на краях интервала интегрирования, интеграл в (19) можно оценить, считая $\frac{w}{U_{0\min}}$ линейной функцией $\frac{r}{R}$. В результате чего получим

$$\xi_* = \frac{\zeta_2 (\gamma^2 \xi_*^2 - 4\gamma \xi_* + 7)}{2 \theta^{1/2}}. \quad (20)$$

Таким образом, для определения величин $U_{0\min}$, t_* и ξ_* имеем уравнения (8), (9) и (20), которые после простых преобразований сводятся к следующим:

$$\theta = \frac{\gamma^2 \xi_*^2 + 2\xi_* + 1}{1 - (1 - \tau_*)^3}, \quad (21)$$

$$\frac{(1 - \tau_*)^2}{1 - (1 - \tau_*)^2} = \frac{2 \zeta_1 \xi_* (\gamma^2 \xi_* + 1) (1 - \gamma \xi_*)^2}{\zeta_2 (\gamma^2 \xi_*^2 - 4 \gamma \xi_* + 7) (\gamma^2 \xi_*^2 + 2 \xi_* + 1)}, \quad (22)$$

$$1 - (1 - \tau_*)^3 = \frac{4 \xi_*^2 (\gamma^2 \xi_*^2 + 2 \xi_* + 1)}{\zeta_2^2 (\gamma^2 \xi_*^2 - 4 \gamma \xi_* + 1)^2}. \quad (23)$$

Зависимость между τ_* и ξ_* по уравнению (22) при $\frac{\zeta_1}{\zeta_2} = \text{const}$ имеет такой же вид, что и по уравнению (15) (см. рис. 2, кривая *a*), но, поскольку $l/u_h \ll R/u_t$ (поэтому $\zeta_2 \gg \zeta_1$), минимальное значение $\tau_{*\min}$ практически не отличается от единицы. Поэтому $(1 - \tau_*)^3 \ll 1$ и величину ξ_* в этом случае можно сразу найти из уравнения (23).

Следует отметить, что как и в предыдущем случае, $\xi_* \leq \frac{1}{\gamma}$, поэтому существует предельное максимальное значение ζ_2 и предельное минимальное значение скорости детонации $U_{0\min_l}$

$$\frac{U_{0\min_l}}{\sqrt{2(\gamma^2 - 1)Q}} = \sqrt{\frac{\gamma}{2(\gamma + 1)}}, \quad (24)$$

$$\zeta_2 = \sqrt{\frac{\gamma + 1}{2\gamma^3}}. \quad (25)$$

Таким образом, детонация в шероховатой трубе при $\frac{R}{u_t} \gg \frac{l}{u_h}$ возможна, если

$$\zeta_2 = \frac{\Pi c_x R \sqrt{2(\gamma^2 - 1)Q}}{3(\gamma + 1)^2 F u_t} \leq \sqrt{\frac{\gamma + 1}{2\gamma^3}}. \quad (25a)$$

Скорость детонации при этом не может быть меньше величины $\sqrt{\gamma(\gamma - 1)Q}$.

Из соотношений (17) и (24) видно, что предельные значения скорости детонации для случаев $l/u_h \gg R/u_t$ и $l/u_h \ll R/u_t$ одинаковы и соответствуют таким потерям, когда продукты детонации полностью заторможены относительно стенок трубы, а горение завершено. Очевидно, что и при любом соотношении между l/u_h и R/u_t предельная скорость детонации будет соответствовать такому же состоянию. Критерий существования детонации Чепмена — Жуге для любого соотношения между l/u_h и R/u_t можно получить из условия $\xi_* \leq \frac{1}{\gamma}$, считая в первом приближении, что величина первого интервала в равенстве (11) пропорциональна $\frac{R/u_t}{l/u_h + R/u_t}$, а второго — $\frac{l/u_h}{l/u_h + R/u_t}$:

$$\frac{\Pi c_x \sqrt{2(\gamma^2 - 1)Q} [(l/u_h)^2 + (R/u_t)^2]}{F(l/u_h + R/u_t)} \leq \sqrt{\frac{9(\gamma + 1)^5}{2\gamma^3}}. \quad (26)$$

Из этого выражения следует, что для каждой горючей смеси существует предельное значение коэффициента сопротивления трубы c_{x_l} . Если $c_x > c_{x_l}$, то детонация Чепмена — Жуге невозможна. В связи с этим следует обратить внимание на следующее обстоятельство. В смесях с малой скоростью горения в трубах с большим коэффициентом сопро-

тивления критерий существования детонации Чепмена — Жуге (26) не выполняется.

С другой стороны, известен факт, что турбулентное горение в трубе, как правило, неустойчиво — оно ускоряется [6, § 26]. Таким образом, при горении в шероховатых трубах может возникнуть такая ситуация, что распространение самоподдерживающейся детонации будет невозможна из-за слишком большого сопротивления трубы, в то же время невозможно и стационарное распространение горения. Остается, по-видимому, единственный режим: быстрое нестационарное горение. Возможно, что именно также режимы горения зарегистрированы Дицентом и Щелкиным [7].

Эти авторы исследовали горение смеси 50% CO + 50% воздуха в шероховатых трубах с весьма большим коэффициентом трения ($c_x \sim 0,3 \div 0,5$), для которых условие (26) не выполняется. Скорость распространения горения изменялась в интервале 188—790 м/сек, однако стационарной детонации зарегистрировано не было.

В заключение приведем результаты расчетов скорости детонации в шероховатых трубах.

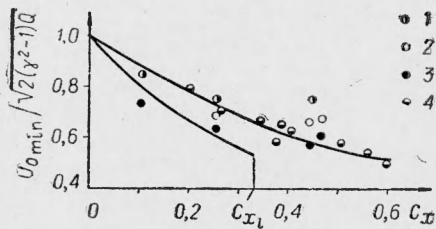
Приближенные расчеты скорости детонации смесей $C_2H_6 + 3,5O_2$ и $2C_2H_2 + O_2$ для условий экспериментов, характерных для работ Щелкина и Лаффита [1, 2], проводились по формулам (21)–(23), поскольку оценки показали, что при этих условиях $\frac{R}{u_t} \gg \frac{l}{u_h}$. Коэффициент трения c_x рассчитывался с точностью до постоянной, последняя определя-

Рис. 3. График зависимости отношения скорости детонации в шероховатой трубе к скорости в гладкой

$$\frac{U_{0\min}}{\sqrt{2(\gamma^2 - 1)} Q}$$

от коэффициента трения c_x .

Данные Щелкина [1] для смеси $C_2H_6 + 3,5O_2$: 1 — $p_0 = 760$ мм рт. ст.; 2 — $p_0 = 500$ мм рт. ст.; 3 — $p_0 = 300$ мм рт. ст.; 4 — данные Лаффита [2] для смеси $2C_2H_2 + O_2$.



лась из одного эксперимента. Скорость турбулентного горения рассчитывалась по формуле Козаченко [6, стр. 91]. Подробно методика расчета изложена в [8]. Результаты расчетов приведены на рис. 3.

Поступила в редакцию
18/X 1968

ЛИТЕРАТУРА

1. К. И. Шелкин. ЖЭТФ, 1940, **10**, 823.
2. R. Laffite. Compt. rend., 1947, **224**, 1224.
3. Я. Б. Зельдович, А. С. Компанеец. Теория детонации. М., Гостехиздат, 1955.
4. К. И. Шелкин. Быстрое горение и детонация газов. М., Воениздат, 1949.
5. К. И. Шелкин. ЖТФ, 1943, **13**, 520.
6. К. И. Шелкин, Я. К. Трошин. Газодинамика горения, М., Изд-во АН СССР, 1963.
7. В. Е. Дицент, К. И. Шелкин. ЖФХ, 1949, **19**, 21.
8. С. С. Рыбанин. Канд. дисс., МФТИ, 1966.